

<原 著>

## 닭의 傳染性下痢에 關한 研究

臨床, 血液像 및 組織所見

서울農業大學 病理學教室

李 起 豊·李 俊 驥

### STUDIES ON AVIAN INFECTIOUS DIARRHEA

### CLINICAL, HEMATOLOGIC, AND HISTOPATHOLOGICAL OBSERVATION

Ki Poong Lee

Joon Sup Lee

Section of Veterinary Pathology

Department of Veterinary Medicine Seoul Municipal College of Agriculture

#### [Summary]

A large proportion of an apparently healthy flock showed symptoms characterized by depression, loss of appetite, and watery diarrhea, and distention of the croup with sour-smelling contents, presenting severe cyanosis of comb. Laying flock revealed severe drop in egg production. The egg production was dropped to 10.6 per cent on 7 days after an outbreak and depression egg yield had continued for 35 days laying thin shelled, rough and misshapen eggs. The Watery diarrhea was disappeared gradually in 10 days after following yellowish brown or brown soft discharge. Mortality was 6.8 per cent.

Differential blood counts on 20 birds showed relative moncytosis ranging 15 to 55 per cent and 15 birds exhibited more than 20 per cent.

Macroscopically, there were distention of the crop with contents, darkening head, tiny focal necrosis of liver with dilated gall bladder, chalkiness of pancreas, catarrhal enteritis, dehydration and fish flesh like lesion in brisket muscle only in one case, swollen kidney, and irregular soft, broken or hematocyst-like eggs. Mesenteric membrane, peritoneum, and serous surface of organs in abdominal cavity were covered with the yolk materials derived from ruptured eggs.

Microscopically, the liver presented typical focal necrosis with fatty degeneration and marked biliary stasis, especially in larger ducts. The glomeruli showed thickening of the basement membrane, proteineous substance in Bowman's space, adhesion between proliferated glomerular tufts and Bowman's capsule, and marked proliferation of endothelial cells of glomerular capillary, especially in vascular pole accompanying hyalinization of vessel wall. The uriniferous tubules contained albuminous material, desquamated epithelial cells, and hyaline casts with pseudo-giant cells and proliferation of fibroblasts from infolding epithelium. Cloudy swelling, necrosis and desquamation of the epithelium of the uriniferous tubules were observed.

The size of the islets of Langerhans appeared to be increased and their cells were swollen. Eosinophilic intranuclear inclusion bodies were recognized in the islets of Langerhans cells in two cases. The pancreatic cells showed cloudy swelling, vacuolar degeneration and necrosis. The pancreatic ducts contained inspissated secretion. The spleen exhibited necrotic foci with bile and hemosiderin laden phagocytes or

free bile pigment were embedded in tiny vacuoles. The peritoneal surface of visceral organs, parietal peritoneum and mesentery were covered with homogenous eosinophilic yolk materials and spherical globules with infiltration of inflammatory cells. There were loss of striation, fragmentation and slight hyaline degeneration in only one case.

Hematocyst-like egg follicles were presenting severe congestion with edema and hemorrhage in stroma. These hemorrhage in egg yolk, especially peripheral portion were appeared due to hemorrhage by diapedesis or by rhexis arising from severe congested vessels in stroma. The delicate vitelline membranes were ruptured or detached from membrana granulosa by edema fluid. Germinal epithelium and interlobar spaces of ovaries were filled with eosinophilic yolk materials. The yolk materials derived from ruptured egg follicles in stroma instigated slight inflammatory reaction but no severe proliferative, degenerative, exudative, and necrotic changes were observed in the ovaries.

Considering from the symptoms, blood pictures, and histopathological findings, it is concluded that infectious diarrhea of chicken in Korea is coincided with Avian Monocytosis(so-called Pullet Disease).

## I. 緒 言

Pullet disease는 Beaudette8) (1929)가 主로 產卵率이 높은 成鶏가 感染되어 鶯冠의 灰血과 急死를 特徵으로 하여 比較的 鮫死率이 얕은 疾病을 確認하여 이것을 "X-disease"라고 報告하였다. 이와 같은 疾病을 美國의 東北地域에서 鳥과 七面鳥에서 發生하였으며 系統的研究가 이뤄지지 못하였으나 Jungherr와 Levine이 症候群을 病理學의 見地에서 細密히 研究報告하였다.

Bullis6) (1940)는 急性型을 "Pullet disease", 亞急性型을 "Blue comb disease"라고 命名하였으며 兩者는 特異한 特徵을 지닌 다른 疾病이라고 主張하였고 이와 같은 見解는 Beaudette9) 도 支持하여 각각 "X-disease" 및 "New wheat Poisoning"이라고 呼稱하였다. Jungherr와 Matterson4) 은 單核球增加가 本疾病的 特異한 共通所見인 故로 "Avian Monocytosis"라고 命名을 提案하였다. 日本에서는 渡邊2), 望月16) (1951) 등이 이와 恰似한 鳥의 疾患을 "Avian infectious diarrhea"라고 命名하여 報告하였으며 單核球增加症은 New castle과 같은 傳染病에서도 볼 수 있으나 本症의 顯著한 症狀인 下痢가 있으므로 新しい 命名을 하였다. 七面鳥에 있어서는 Pomeroy와 Sieburth1) (1953)는 "Blue Comb of turkey"라 하여 傳染性이 強하고 傳達可能한 傳染性下痢에 對하여 報告하였다.

우리나라에 있어서는 現在까지 이와 類似傳染病의 發生報告가 없으므로 첫 發生例로써 報告하는 바이다.

## II. 研究材料 및 方法

本大學附屬養鶏場에서 飼育中인 白色 Leghorn 84首

(♀77, ♂7)와 New hampshire 18首(♀14, ♂4)에서 臨床症勢가 顯著한 20首의 患鶏의 翼下靜脈에서 採血하여 血液塗沫標本을 製作한 後 Giemsa染色을 하였고 其中 5首에 對하여 10日間繼續採血하여 血液像을 觀察하였다.

屠殺處分한 3首와 鮫死한 7首는 剖檢하고 各組織을 10% Formalin溶液에 固定한 後 Paraffine切片標本을 製作하여 Hematoxylin-Eosin染色을 實施하였다.

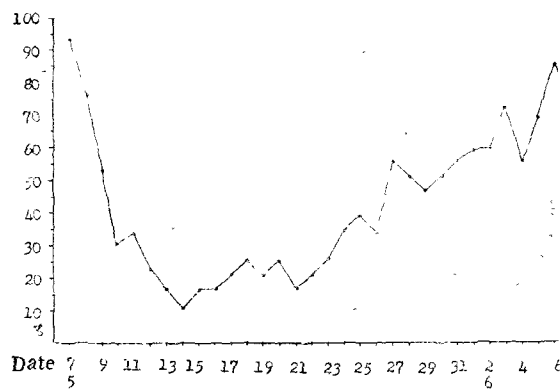
## III. 檢查成績

### A. 臨床所見

1963年 5月 7日頃에 鮫은 食慾不振, 絶廢하고 元氣沈衰, 鶯冠은 灰血이 顯著하여 暗紫色이며 水樣性下痢가 일어난 後 黃褐色 또는 褐色의 下痢 및 軟便으로 變하고 漸次의 으로 正常回復하여 發症後 約 10日에 下痢는 中止되고 正常便을 보게 되었다. 下痢의 出現과同時に 鮫은 運動이 不活潑하고 尾毛와 翼毛를 떠레트리고 鶏舍 한 모퉁이에 群集停止하였고 食慾은 完全히 絶廢하였으나 飲水는 旺盛하였다. 重症例에 있어서는 嘴囊은 顯著하게 膨大되고 食餌가 充滿되어 硬固하였다.

下痢가 確認된 後 約 3日부터는 產卵率이 急激히 低下되었으며 發病前 10日間의 產卵數를 100%로 計算한 患鶏의 產卵率은 發症 7日後에는 10.6%로 低下되었고 感染鶏는 거의 休產하였으며 產卵低下는 約 35日間持續되었고 感染中인 것 또는 產卵再開한 產卵鶏는 矮小卵, 奇型卵, 軟卵을 產卵하였다(表 1). 感染率은 約 90%이며 鮫死率은 102首中 7首가 自然鮫死하여 6.8%였다.

Table I. Percentage of egg production in affected flock to the average number of egg production for ten days before infection.



### B. 血液所見

血液은 明著하게 濃厚하고 粘稠性 및 凝固性이 增加하여 血液塗沫標本의 製作이 困難하며 發症例는 全例가 明著하게 血白球 百分率에 있어서 單核球이 增加하였으며 檢查例 20例中 最少가 15%, 最大는 55%였으며 20%以上이 15例였다.

多數例에 있어서 單核球는 크기가 크고 鹽基性細胞

形質과 圓形核을 가진 未熟な 單核球이 多數出現하였다.

別途로 5首를 隔離시켜 繼續 9日間 血液像을 觀察하는 中에 1首는 2日後에 離死하였다. 一般的으로 假好酸球이 增加하는 傾向이 있으며 淋巴球의 相手數는 顯著하게 減少되었고 產卵이 회復하면 單核球과 假好酸球는 正常值로 減少되고 淋巴球도 正常으로 復歸하였다(表 2, 3, 4).

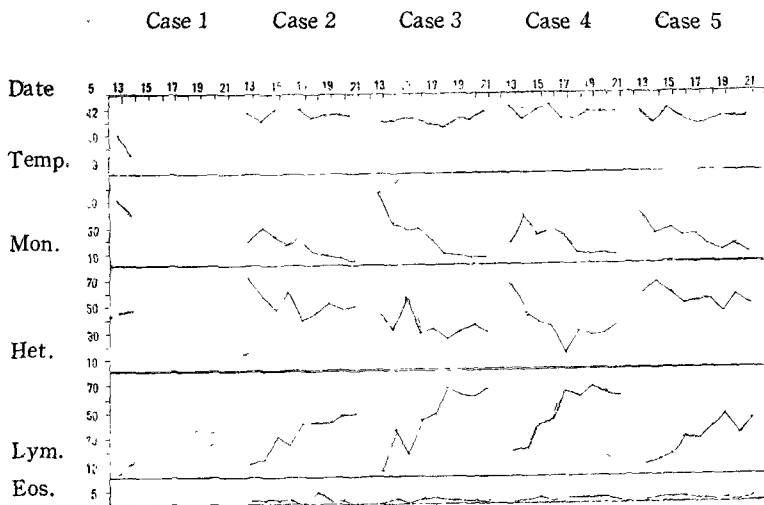
Table II. Blood picture of affected chickens.

Case No.	1	2	3	4	5	6	7	8	9	10	11	12	13	14	15
Het.	48	21	28	59	41	53	49	39	48	35	62	65	47	53	42
Eos.	1	0	0	0	0	1	1	1	0	0	0	0	0	0	2
Bas.	0	0	0	0	0	0	0	0	0	0	0	0	0	0	0
Lym.	15	27	38	20	31	20	32	41	33	21	17	17	30	32	36
Mon.	36	52	34	21	28	27	18	19	18	44	21	18	23	15	20

Table III. Changes of blood picture in affected chickens.

Date		5.13	5.14	5.15	5.16	5.17	5.18	5.19	5.20	5.21
Case No.	1	46	47							
	2	71	57	47	60	39	43	50	47	49
	3	42	31	56	28	31	23	29	33	29
	4	63	44	36	33	12	29	25	27	33
	5	58	65	58	50	52	52	43	55	49
Eos.	1	0	0							
	2	1	1	1	1	0	4	1	2	0
	3	0	2	0	3	3	2	1	1	1
	4	0	1	3	1	2	2	2	2	1
	5	0	2	2	2	1	0	1	0	1
Bas.	1	1	0							
	2	0	0	0	0	0	0	0	0	0
	3	0	0	0	0	0	0	1	0	0
	4	2	0	0	0	0	0	0	0	0
	5	0	0	0	0	0	0	1	1	0
Lym.	1	3	13							
	2	10	14	30	23	40	41	41	45	47
	3	3	35	17	42	47	67	62	61	65
	4	19	20	39	41	64	60	67	64	60
	5	8	11	15	28	27	35	45	30	42
Mon.	1	50	40							
	2	18	28	22	16	21	12	8	6	4
	3	55	32	27	27	19	8	7	5	5
	4	16	35	22	25	22	9	6	7	6
	5	24	22	25	20	20	13	10	14	8

Table IV. Blood picture observed for 9 days in affected chickens.



#### C. 病理解剖所見

鶏冠은 暗紫色으로 血液이 著明하고 嘴囊은 大端히 膨大되고 酸臭가 強한 食塊로 充滿되어 있고 口腔에는 黏液이 小量・殘溜되어 있었다. 皮下筋肉은 脱水가 되어 乾燥하고 光澤이 없으며 一例에 있어서는 胸筋에 魚肉樣白色病巢가 斑狀 및 線條狀으로 散在되어 있었다.

肝은 輕度로 肿脹되어 있으며 灰黃色으로 渗漏하며 4例에 있어서는 點狀壞死가 點在되어 있고 胆汁이 充滿되어 있었다. 脾는 正常의 淡紅色의 色彩가 消失되어 白堊樣變性巢가 密集되고 肿脹되어 있었다. 腎은 灰黃色으로 楔色, 肿脹되어 있었으며 2例에 있어서는 少量의 白色尿酸鹽沈着이 있었다. 腸은 腸粘膜이 充血發赤되고 肿脹되어 있으며 多量의 黏液으로 膘혀져 있었다. 麝死例에 있어서는 多數의 蠕虫이 寄生되어 있었고 點狀出血이 있으며 顯著한 加答兒性腸炎이 있었다.

全例에 있어서 腹腔내에 卵嚢이 있었으며 腹腔臟器의 細膜과 腸間膜 및 腹膜은 破壞卵黃 및 渗出物로 由來되는 黃褐色의 濃厚한 渗漏物로 膘혀져 있었다. 卵巢의 變化는 特異하여 全例에 있어서 變色卵, 軟卵, 破壞卵胞 및 卵胞내에 出血로 因한 血腫樣卵胞가 있었다. (Fig. 1.)

產卵停止後 數日이 經過하여 麝死한 例에 있어서는 卵巢의 正常發育이喪失되어 小卵胞뿐이며 大豆大以下이고 黃褐色 變色卵胞, 또는 血腫樣卵胞가 混在되

여 있었다. Formaline에 固定한 卵巢에 있어서는 卵胞壁이 歪曲되고 褶壁이 생기며 形態가 不規則하다. 卵黃은 正常보다 若干 鮮明한 淡黃色이며 融解狀이고 基質에 充出血이 있었다. 卵胞내에 出血이 있고 卵胞膜周緣에 있는 卵黃은 完全히 血塊로 代置되어 있었다 (Fig. 2.)

#### D. 組織所見

肝—3例에 있어서는 肝靜脈洞은 擴張充血이 顯著하고 輕微한 肝細胞索의 壓迫萎縮이 있었다. 肝實質內의 變性은 比較的 廣範圍하게 類壞死病巢와 類圓型 또는 不定型인 典型的局所壞死가 散在되고 있으며 壞死의 境界가 明瞭하고 局限且 硝子樣塊로 置換되고 肝細胞의 核濃縮, 核崩解가 있었다 (Fig. 3). 壞死巢內에 斑狀으로 紗狀內皮系의 增產, 僧好酸球의 浸潤이 同伴되어 細胞節結狀을呈示하는 것도 있었다 (2例). 4例에 있어서는 局所性脂肪變性이 있었으며 肝細胞의 胞體內에는 大小脂肪空胞가 充滿되고 變性이甚한 곳은 核이 淡染되고 細胞形質은 微細胞顆粒狀으로서 類壞死를 이르켜 肝細胞柱는 崩解되고 있으며 殘留肝細胞의 代償性肥大가 있었다 (Fig. 4).

細胞管에는 暗褐色의 胆汁이 渗漏되어 있었다 (7例) (Fig. 5). 4例에 있어서는 毛細胆管은 小空胞樣으로 擴張되고 褐色胆汁色素가 充滿되어 있었다 (Fig. 6). 小葉間胆管 또는 血管周圍에 圓形細胞浸潤이 著明하다 (2例). 一例에 있어서는 輕度의 結合組織增生이 있고 胆管의 新生과 間質에 淋巴裝置의 肿大가 있으며 炎症細

胞과 胆管周圍에 集簇되어 있었다.

腎—Bowman's囊은 異常擴張되어 囊腔內는 微細顆粒狀 또는 疣狀의 蛋白質이貯溜되고 被囊上皮는 肿大되고 核의 增生이 있었다(Fig. 7). 3例에 있어서는 絲毛體가 顯著하게 肿大되고 Bowman's囊과 相互癒着하여 結合織으로肥厚되어 있다(Fig. 8) 絲毛體蹄系의 細胞는 顯著하게增殖腫大되어 있고 特히 血管極에 있는 絲毛體의 毛細血管內皮細胞는 肿大되어 核은 透明한 水腫狀이며 毛細血管壁은 硝子樣變性을 이르며 腔內는 不明瞭하거나 狹窄되어 硝子樣球로 變하고 있다(Fig. 9). 病變이 進行된 部位는 内皮細胞核이 濃縮되어 絲毛體는 硝子樣結合織으로 變하고 있다.

尿細管主部에는 球狀 또는 瓢狀의 蛋白塊가 充滿되어 있고 甚한 例에 있어서는 硝子樣圓柱가 있고 細尿管上皮는 變性, 壞死, 剥離가 되어 있다(Fig. 10).

介在部 및 集合管은 擴張되고 剥離上皮, 蛋白特質, 硝子樣圓柱가充填되어 上皮는 扁平하여 核濃縮, 核破碎, 核分解가 있다(Fig. 11, 12). 2例에 있어서는 細尿管에 E-H染色의 暗紫色으로染色되는 結晶體가充填되고 周圍에는 細尿管基底膜으로부터增殖된 繩維芽細胞, 또는異物性巨大細胞로包圍되어 있다(Fig. 13).

脾—Langerhans'島는一般的으로若干腫大되어 있고 集團의으로 排列된 細胞群은腫脹되어 있으며 Eosin에 好染되고 核崩解하는 傾向이 있다. 2例에 있어서는 好酸性核內封入體가島細胞내에 있으며 核膜은 周緣에 壓縮되고 封入體는 球狀이며 中心部位를 占有하고 있다.

壓縮된 核膜과 封入體 사이에는 間隙이 생기고 封入體는 明瞭하게 보인다(Fig. 14). 脾細胞에는 Zymogen顆粒이消失되고 核染色이不良하여 Eosin에 好染되어 硝子樣物質로 變하고 空胞變性이 있으며 核濃縮, 核分解, 核破碎가 있다(5例)(Fig. 15) 導管내에는 好酸性인 硝子樣物質이貯溜되어 있다(4例)(Fig. 16).

腸膜—全例에 있어서 腹腔臟器의 粘膜, 腹膜 및 腸間膜의 粘膜面은卵胞破壞에서 生產된 好酸性인 微細顆粒狀 또는 球狀物質로 덮혀져 있고 膜 또는 卵黃物質에는 淋巴球, 單核球, 形質細胞 및 假好酸細胞가集簇되어 있다(Fig. 17, 18).

腸—絨毛는 肿大되고 上皮細胞의 粘液分泌가 顯著하게 抗進되고 絨毛間에는 粘液 및 剥離上皮가 있다. 固有層 및 粘膜下層에는 淋巴球, 單核球, 形質細胞의浸潤이 있다.

脾—4例에 있어서는 局所性微細壞死가 散發하고 赤髓의 網狀組織에는 多數의 微細圓形의 空間에 胆汁色

素가 遊離狀態 또는 大喰細胞에 依하여 噉食된 狀態로 存在하고 있으며 輕度의 網狀纖細胞反應이 있었다(Fig. 19).

卵巢—血腫卵에 있어서는 卵巢基質血管은 顯著하게 擴張되어 赤血球로充盈되어 極度의 漏血이 있고 周圍基質과 卵胞에漏出性 또는破綻性出血과 浮腫이 있다. 基質纖維는 浮腫으로 因하여粗造化되어 있다.

纖細한 卵黃膜과 卵胞膜顆粒層은 基質血管에서由來되는出血과 浮腫으로剝離되어 있다(Fig. 20). 卵黃內의出血로因하여 卵胞膜周緣에 있는 卵黃은 赤血球로 占有되어 血海로 變하고 있다(Fig. 21).

基質內에는 卵胞의 異常破裂로 遊出된 卵黃物質이 贯流되어 周圍에는 卵黃物質을 噉食한 大喰細胞, 假好酸球, 小圓形細胞의 集簇이 있다.(Fig. 23). 卵巢白膜과 基質間隙에는破壞卵胞에서生產된 好酸性卵黃物質이貯溜되어 있다.

胸筋—筋纖維의 橫紋 및 縱紋은 不明瞭하여 消失된 것도 있고 一例에 있어서는 局所的으로 Eosin에 好染되어 輕微한 硝子樣變性이 있다. 筋纖維는 여려 곳에서 不規則하게 断裂이 되어 間隙이形成되어 있다(Fig. 24).

#### IV. 考 按

Waller21), 22)(1942, 1944)는 血液, 肝, 粪便, 卵으로부터 孵化鷄卵의 腹絡膜에서 培養可能한 Virus를 分離하여 健康鷄의 接種 또는 投與에 依하여 約50%에 있어서 Puilet disease樣症狀이 出現하였으므로 Virus說을 提唱하였다. 그러나 成績이確實치 않고 研究者에 따라 結果가一定치 않다. 日本에서는 渡邊2), 岩科等이 一種의 Virus를 分離하여 Virus說을 主張하지만 川島15) 等은 同一方法을 使用하였으나 失敗하였다. 本傳染病은 自然發生例에 있어서는 傳染性이 있다는 것과 罷患鷄의 腹内容物을 健康鷄에 給與함으로써 同一症狀이 再現할 수 있다는 意見에는 支持를 받고 있다. 其外의 原因에 對해서는 小麥中毒說, 無機鹽類로 因한 腎障礙說 等이 있지만 現在까지는 定說이 없다.

1952年에 O'son3) 이 報告한 正常雌鷄의 單核球百分率은 8.9%이며  $1\text{mm}^3$ 當 1,700隻라고 한다. Avian Monocytosis에 있어서 Tungherr와 Matterson4) 이 報告한 血液所見은 顯著한 白血球增多症이 있다 하며  $1\text{mm}^3$ 當 40,000隻이며 白血球百分率에 있어서는 單核球增多症으로서 平均 20%以上이며  $1\text{mm}^3$ 當 8,000隻라고 한다. 望月16) (1952)의 19例에 對한 單核球百

分率은 12~52%였다고 하며 渡邊2) (1951)는 自然感染例와 人工感染例에 있어서는 24.5~39.5%였다고 報告하였다.

本例에 있어서 20例의 罷患鶲에 對한 單核球百分率은 15~55%였으며 20%以上이 15例였으며 僞好酸球가一般的으로 增加하였고 淋巴球의 指手數는 顯著하게減少되었다. 產卵이 回復함에 隨之 單核球, 僞好酸球 및 淋巴球도 正常值로 復歸되었다.

Sieburth(1954)는 腸의 痘變은 腸管이 水樣性內容物로 膨大되어 있고 點狀出血이 同伴되는 甚한 腸炎이 있었다고 하며 Jungherr와 Levine5) (1941)은 腸腔臟器의 粘膜 및 腹膜, 腸間膜에 僞好酸球의 濕潤이 있는 卵黃의 好酸性物質과 好酸小球로 膜혀져 있었다고 하며 이것은 破壞卵胞에서 由來된 것이다라고 하였다. Jungherr와 Matterson4) (1944)은 脾에 있어서의 白堊樣變性巢는 組織學的으로 小葉中心部에 腺細胞의 濕潤腫脹과 壞死가 있었다고 하며 또한 Jungherr와 Lovine5) (1941)은 Langerhans'島의 數가 增加하고 細胞는 肿脹되어 好酸性核內封入體가 있었다고 報告하였다.

Weaver7) (1941)는 絲膜體毛細血管의 硝子樣血栓症과 Bowman's囊의 擴張 또는 絲膜體의 痘着이 있었다고 한다. 井上18) (1952)는 腎의 濕潤腫脹, 卵巢, 胸腺 및 甲狀腺의 充出血, 腹膜污染이 癲發하였다고 하며 組織學的으로 絲膜體의 硝子樣化와 卵胞內의 出血은 滲血性破綻性出血에 起因한다고 報告하였다. 渡邊19) (1952)等은 同居感染鶲에 있어서 細尿管上皮의 變性은 24時間이 經過한 후부터 出現하였으며 絲膜體의 變性은 48時間부터 나타났고 細尿管內의 硝子物質의 漏潤은 48~72時間에 確認할 수 있었으며 肝細胞의 膨化와 空胞變性은 24時間에 나타나고 小壞死는 重症에 있어서 6日부터 出現하였으며 胞隔性肺炎이 있었다고 한다.

本例에 있어서는 加答兒性腸炎과 點狀出血이 있었으며 腎은 濕潤腫脹, Bowman's囊上皮細胞의 肿脹增殖, 絲膜體血管極과 毛細血管內皮細胞의 肿大增殖 및 毛細血管壁에 硝子樣變性이 있고 痘變이 進行되면서 絲膜體毛細血管의 腔이 狹窄, 封塞가 되어 硝子樣塊로 變한다.

Bowman's囊斗增殖腫大한 絲膜體의 痘着, 細尿管上皮의 變性變化剝離, 그리고 腔내에剝離上皮, 球狀 및 納狀蛋白物質, 硝子樣圓柱, 鹽基性結晶體周圍의 异物性巨大細胞形成과 纖維細胞增殖이 있었다.

肝에 있어서는 肝細胞의 局限性壞死, 脂肪變性, 毛

細胆管 및 細胆管의 胆汁滲漏가 있었다. 脾에는 Langerhans'島細胞의 肿大 및 變性變化와 好酸性核內封入體가 있었고 脾細胞의 濕潤腫脹, 空胞變性, 壞死, 導管內의 硝子樣物質의 貯溜가 있었다. 脾에는 Jungherr가 指摘한바와 같이 局所性壞死와 胆汁, 血鐵素의沈着이 있었고 腹腔臟器의 粘膜面, 腸間膜 및 腹膜에는 卵黃物質의 集積과 淋巴球, 單核球, 形質細胞, 好酸球의 濕潤이 있었다.

Jungherr26) 等은 胸筋의 肌纖維의 條紋은 消失, 間質性浮腫, 肌斷裂, 硝子樣變性이 있었다고 하며 渡邊2), 井上18) 等은 硝子樣變性은 有る條紋의 消失이 있었다고 報告하였다. 本例에 있어서는 條紋의 消失과 一例에 있어서 輕微한 硝子樣變性과 肌斷裂이 있었다.

望月16) (1952), Oureth(1955), Blawland(1957) 等은 卵巢의 出血, 軟卵胞, 卵胞破壞를 報告하고 있으며 乾, 川島17) (1955)等은 離白痢, New castle病, 犬의 傳染性下痢에 있어서의 卵巢變化를 病理組織學的으로 比較検索한바 犬의 傳染性下痢의 特徵의變化로 異狀卵胞에 있어서 颗粒膜細胞의 圓形化를 指摘하고 있다. 本例에 있어서는 卵巢의 出血, 軟卵胞, 血腫樣卵胞, 卵胞破壞가 있었고 血腫樣卵胞에 있어서는 卵巢基質血管의 顯著한 充血 및 漏出性, 破綻性出血, 浮腫으로 因한 基質의 粗造化, 基質內의 破壞卵胞周圍에 輕微한 細胞反應, 白膜 및 基質間隙에 卵黃物質의 蓄積, 出血 및 浮腫으로 因한 卵黃膜과 颗粒細胞膜과의 遊離 및 破裂, 卵黃內出血이 있었다.

血腫卵胞의 出血原因是 井上18) 가 指摘하는 바와 같아 基質血管의 甚한 滲血에 因起되는 漏出 및 破綻性出血에 있다고 生覺된다. 他臟器에 있어서는 一貫化變化가 없었다.

## V. 結 言

1. 우리나라에 있어서 既知의 어떤 傳染病과 判異하게 다른 原因不明의 犬의 傳染性下痢를 臨床, 血液學의 病理組織學的으로 檢索한바 歌美 및 日本에서 報告된 "Avian Monocytosis" 또는 "Infectious avian diarrhea"와 符合되는 傳染病이라 생각됨으로 첫. 發生例로써 報告하는 바이다.

2. 病理組織學的所見의 知見追加로써 Langerhans'島細胞에 好酸性核圓封入體의 出現, 絲膜體毛細血管의 内皮細胞 肿大增殖, 및 管壁의 硝子樣變性, 血腫樣卵胞에 있어서는 漏出性 破綻性出血 및 浮腫과 이로 因한 颗粒細胞層과 卵黃膜의 遊離, 破壞와 卵黃內出血이 있었다.

끌으로 親切하게 指導를 하여주신 Frank w. Schofield博士任列 謝意를 表하는 바이며 本研究를 物心兩

면으로 協助하여주신 金學運先生에게 感謝를 드리는 바이다.

### 參 考 文 獻

1. Pomeroy B. S. and Sieburth, J. M. Proc. Book, Am. vet. med. Assn., p.321 (1953)
2. Watanbe, m. : Jap. Jour. vet. Sci., 14 : 263 (1952)
3. Olson, C. Jr : 2nd. Ed, Iowa State college Press, Ames, Iowa. 75—91 (1952)
4. Jungherr, E., and Matterson, L. D. : Proc. 48th. Am. meet. U. S. livestock Saint Assn., p.185 (1944)
5. ——— and Levine J. M. : Am. Jour. Vet. Res. 2 : 261 (1941)
6. Bullis, K.L. : Proc, 13th. Ann. Lab. Work in Pullorum Disease Control. Mass. Agr. Exper. Sta., Mimeo Rep. (1940)
7. Weaver, C. H. : Proc. 14th Ann. Conf. Lab. Work in Pullorum Disease Control, Federal, Dept. Agr., Mimes. Rep., Ottawa, Canada. (1941)
8. Beaudette, F.R.: N.J. Agr. Exper. Sta. 1 : 57 (1929)
9. ——— : Proc. 44th Ann Meet. U.S. Livestock Sanit Assn., p.137 (1940)
10. 福田, 名倉 : 獸醫畜產新報 173. 7 (1955)
11. 川島秀雄, 山野輝夫, 秋葉和溫, 大地降溫 : 第37回 日本獸醫學會記事 48 (1954)
12. 乾純夫, 川島秀雄 : 第37回 日本獸醫學會記事 49 (1954)
13. 渡邊守雄, 山野輝溫, 大地隆溫, 乾純夫 : 第34回 日本獸醫學會記事 48 (1954)
14. 古野, 野村, 深田, 上野 : 家畜衛生試驗場報告 24, 63 (1952)
15. 川島, 佐藤, 三船, 花木. : 同上 24, 29 (1952)
16. 望月, 須川, 宮入 : 同上. 24, 23 (1952)
17. 乾, 川島, 山野 : 同上 29, 41 (1955)
18. 井上庸, 野坂大 : 第33回 日本獸醫學會記事 56 (1952)
19. 渡邊, 乾, 山野, 大島, 千葉 : 同上 56 (1952)
20. Jungherr : Disease of Poultry, 4th edition edited by Biester and Schwarte, Iowa state College Press. Ames. Iowa, 627—639 (1959)
21. Waller, E.F. : Science 95 : 560 (1942)
22. ——— : Proc. 16th Ann. Conf. Lab. work. in pullorum Disease Control, Univ. Conn. Coll. Agr. Mimes. Rep. (1944)
23. Qureshi, S. H. : Jour. Am. Vet. Med. Assn 127 : 451 (1955)
24. Blaxland, J.D. : State Vet Jour. 12 : 25 (1957)



Fig. 1. Notice irregular soft and broken egg follicles.



Fig. 2. The cut-surface of lower a egg follicle is normal. Upper irregular hematocyst-like a egg follicle exhibits massive hemorrhage to the peripheral portion.

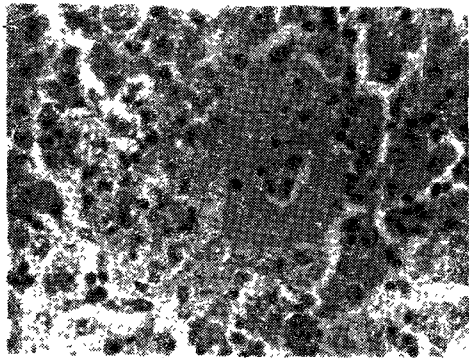


Fig.3. Section of liver show typical focal necrosis composed of strikingly hyaline, homogeneous mass and their nuclei are collapsed, pyknotic and completely lysed. H & E stain; x 650.

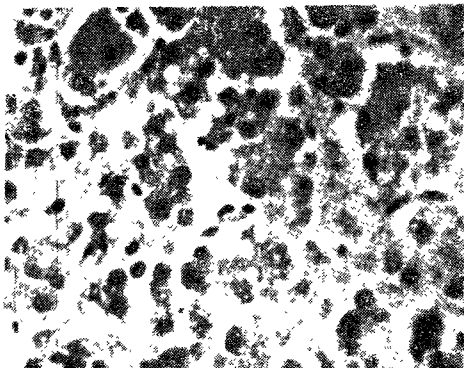


Fig.4. The hepatic cells show fatty degeneration with cloudy swelling and necrosis. H & E stain; x 650.

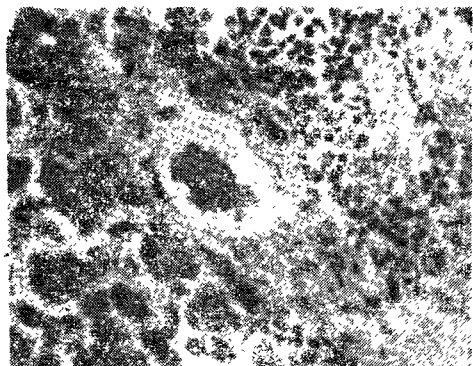


Fig.5. The interlobular bile duct is considerably dilated and filled with dark yellowish-brown bile. H & E stain; x 650.

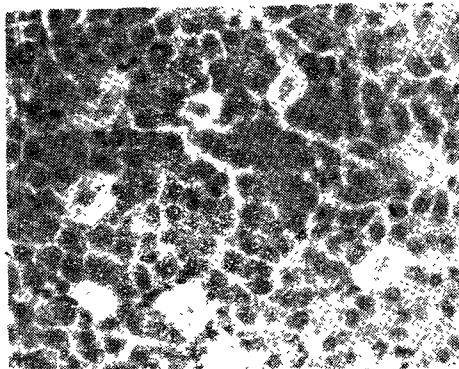


Fig.6. The dilated bile capillaries contain inspissated bile with dissociation of hepatic cell cords. H & E stain; x 650.

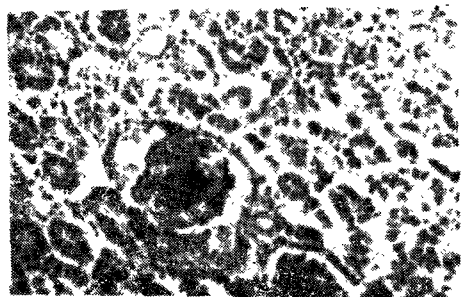


Fig.7. The dilated glomerular space is filled by proteinaceous substance. H & E stain x 60.

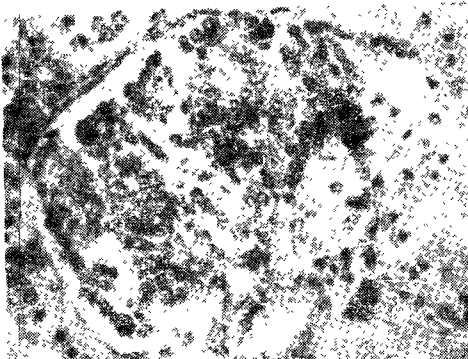


Fig.8. The glomerular tufts are swollen, filled the glomerular space and adhered to the Bowman's capsule. H & E stain; x 650.

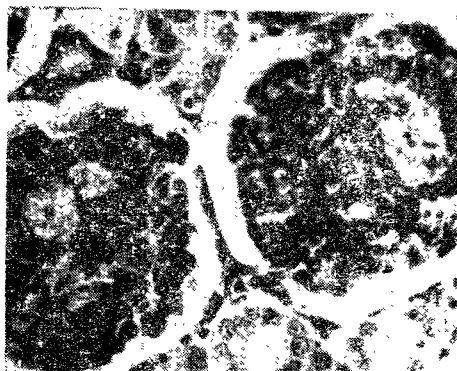


Fig. 9. The glomerular tufts are swollen and excessively cellular. The endothelial cells of glomerular capillaries, especially vascular pole show proliferation and swollen with hyalinization of vascular walls. H & E stain; x 650.



Fig. 10. The renal tubules showing pyknosis and karyolysis contain proteinaceous substance and fatty materials H & E stain; x 650.

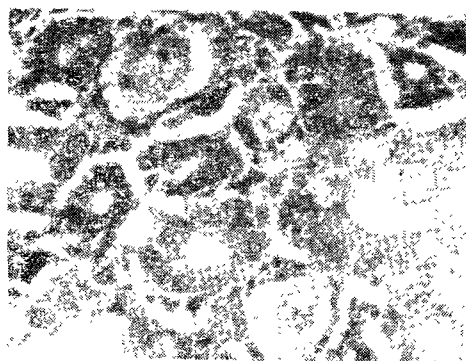


Fig. 11. Dilated tubules with flattening epithelium are presenting necrosis and desquamation and contain albuminous materials and hyaline casts. H & E stain; x 650.

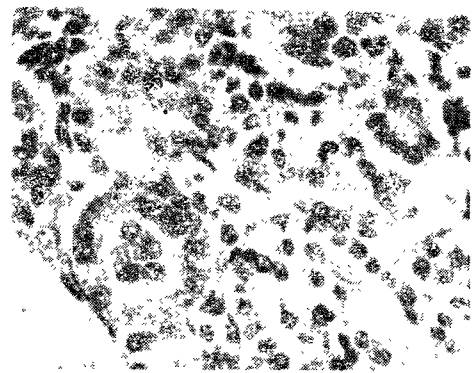


Fig. 12. The uriniferous tubules contain desquamated epithelial cells and proteinaceous materials. H & E stain; x 650.

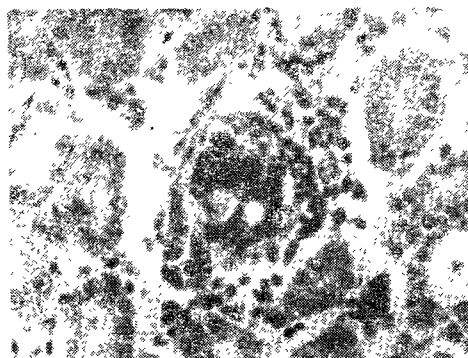


Fig. 13. The hyaline cast is surrounded by pseudogiant cells and fibroblasts from infolding epithelium. H & E stain; x 650.

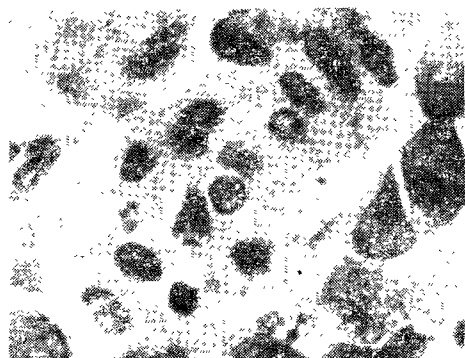


Fig. 14. Langerhan's islet cells contain eosinophilic intranuclear inclusion body and nuclear chromatin is displaced to the peripheral margin. H & E stain; x 1,500.

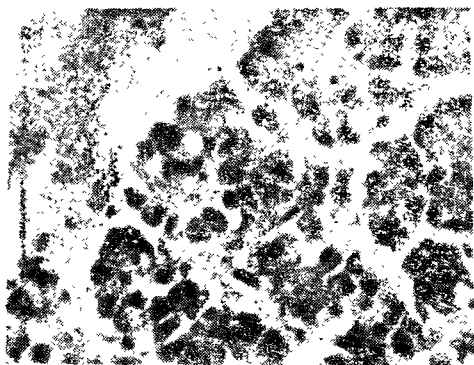


Fig. 15. Pancreatic cells manifest cloudy swelling vacuolar degeneration, pyknosis and karyolytic H & E stain; x 650.

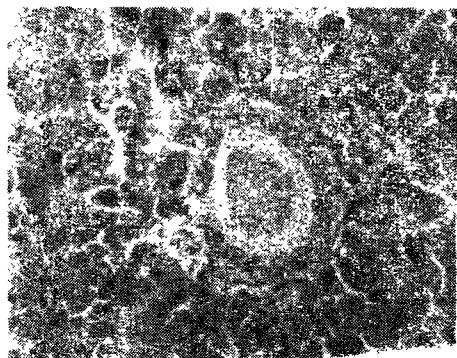


Fig. 16. The pancreatic duct is packed with eosinophilic inspissated secretion. H & E stain; x 650.

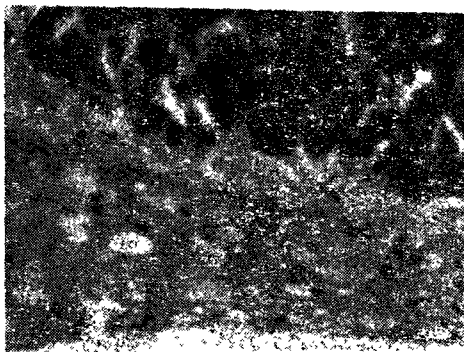


Fig. 17. The peritoneal surface of the pancreas is covered by a homogeneous eosinophilic materials. H & E stain; x 650.

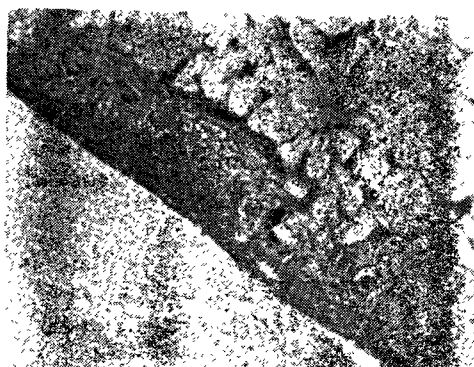


Fig. 18. The mesentery is accumulated with homogeneous eosinophilic materials with infiltration of heterophils and round cells. H & E stain; x 150.

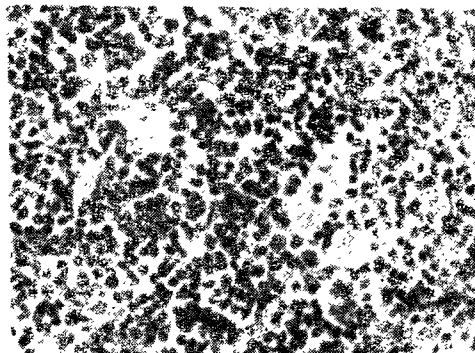


Fig. 19. Section of spleen show focal necrosis with bile pigments and hemosiderin laden phagocytes or free bile pigment are embedded in tiny vacuoles. H & E stain; x 150.



Fig. 20. The delicate vitelline membranes is detached from the membrana granulosa by massive edema fluid with severe congestion in stroma. H & E stain; x 150.



Fig. 21. Note extensive hemorrhage to the peripheral portion of the egg follicle. H & E stain; x 150.

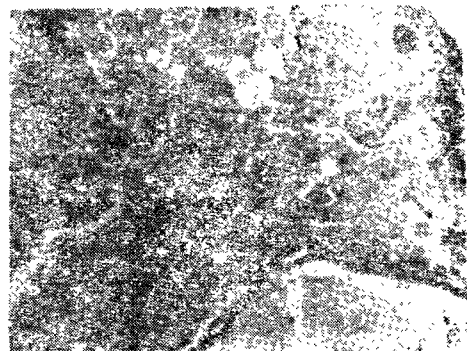


Fig. 22. Extensive area of the stroma is replaced with the yolk materials derived from ruptured egg follicles. H & E stain; x 150.

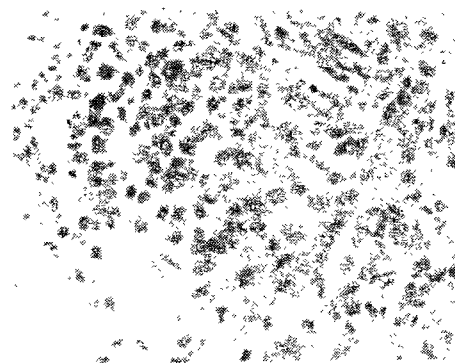


Fig. 23. Higher magnification of the portion shown fig. 22. There are cellular infiltration consisting of eosinophilic leukocytes, lymphocytes, plasma cells, and macrophages around the yolk materials. H & E stain; x 650.

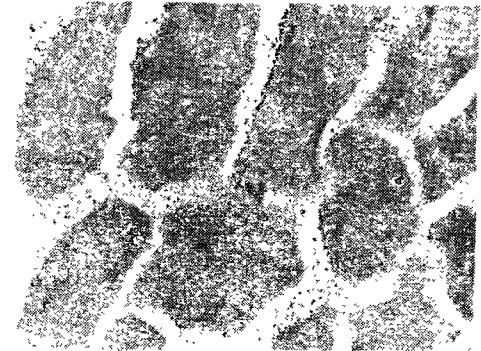


Fig. 24. the skeletal muscle show loss of striation and irregular fragmentation. H & E stain, x 650.

#### 末梢血中犬휘라리아 仔虫數의 日中變動

10頭의 犬을 利用하여 末梢血液中의 휘라리아 仔虫數의 變動을 細密히 檢索하였으나 仔虫數가 가장 많은 때의 時間은 午後 7時 45分부터 午前 0時 40分(夜間)까지였으며 其中에서도 午後 11時 14分～午前 0時 40分에 있어서 가장 많은 仔虫數를 보았다.

그리고 午前 6時 5分부터 正午(晝間)까지가 가장 仔虫數가 적었다. 仔虫數가 적은 때의 仔虫數는 最高 때의 仔虫數에 比하여 2~22%에 不過하였다. 그러나 仔虫數가 가장 적은 日中(낮)에 있어서도 時時로 많은 仔虫數를 나타내는 때도 있었다.

그리고 食餌를 取하면 仔虫數가 增加하는 傾向이 있었다. 體溫의 變動은 仔虫數에 아무런 影響도 주지 않았다.  
(TONGSON, M.S. Brit. Vet. J. 118. 299. 1962.)